

## کاربرد تابع توزیع بتا برای تخمین الگوی توزیع آب در آپاش های اسپری پاش سیستم دوار مرکزی

مجید رئوف<sup>۱</sup>، احمد فاخری فرد<sup>۲</sup>، سید علی اشرف صدرالدینی<sup>۳\*</sup>، داود فرسادی زاده<sup>۴</sup> و علی حسین زاده دلیر<sup>۵</sup>  
دانشجوی ساقط کارشناسی ارشد، دانشیار و استادیاران، دانشکده کشاورزی، دانشگاه تبریز  
(تاریخ دریافت: ۸۶/۶/۱۰ - تاریخ تصویب: ۸۷/۸/۱)

### چکیده

الگوی آب پخش شده از آپاش های سیستم آبیاری بارانی به شدت تحت تاثیر سرعت و جهت باد قرار می گیرد. برای نیل به یکنواختی پخش مطلوب لازم است که الگوی توزیع حاصل از یک آپاش منفرد در شرایط متفاوت باد قابل پیش بینی باشد. با ترکیب الگوی توزیع آپاش های منفرد می توان آرایش مناسب سیستم آپاش ها را برای حصول یکنواختی مطلوب شناسایی نمود. در این تحقیق با فرض اینکه پخش آب در اطراف آپاش مه پاش از تابع توزیع احتمالاتی بتا پیروی می کند نحوه تاثیرات سرعت و جهت های مختلف باد روی الگوی توزیع بررسی شد. آپاش مه پاش مدل PROS-04 با شعاع پاشش ۹ متر و زاویه پخش ۱۸۰ درجه که معمولا در سیستمهای آبیاری دوار مرکزی مورد استفاده می باشد در فاصله سه متری از سطح زمین تقریبا معادل ارتفاع متوسط بهره برداری، نصب گردید. فشار کارکرد مناسب برای آپاش بر اساس متوسط فشار سیستم آبیاری دوار مرکزی ۲۶ psi انتخاب شد. در کل ۱۷ آزمایش در محدوده سرعت های باد ۰ تا ۶ متر بر ثانیه ثبت و برای مدل کردن مورد استفاده قرار گرفت. ابتدا تابع توزیع بتا با الگوی توزیع حاصله در شرایط بدون باد تطبیق داده شد و ضرایب معادله استخراج گردید سپس نحوه تغییر الگوی توزیع ناحیه آبیاری شده در شدت های متفاوت باد مورد بررسی قرار گرفت و روابط احتمالاتی مناسب هر حالت تعیین گردید. در سرعت باد ۰-۳ متر بر ثانیه الگوی توزیع نسبتا یکنواختی حاصل می شود و در این حالت مقادیر حاصله از مدل احتمالاتی با مقادیر اندازه گیری شده، تطابق خوبی را نشان داد و حداقل خطای نسبی حاصله برابر ۴٪ بود. با افزایش سرعت باد به حدود ۳-۶ متر بر ثانیه یکنواختی الگوی توزیع کاهش و خطای نسبی افزایش یافت که حداقل مقدار آن کمتر از ۷٪ بود. در سرعت باد بیشتر از ۶ متر بر ثانیه به دلیل افزایش تلفات تغییر و بادبردگی و نیز تاثیر باد روی الگوی توزیع آب بیشترین خطای نسبی بین ارقام حاصل از مدل احتمالاتی و ارقام مشاهداتی حاصل گردید که حداقل مقدار آن کمتر از ۱۰٪ بود.

**واژه های کلیدی:** آپاش مه پاش، الگوی توزیع، تابع احتمالاتی بتا، دوار مرکزی، شعاع پخش

هر آپاش و منظور نمودن تداخل و ترکیب الگوهای توزیع  
آپاش های منفرد الگوی توزیع سراسری سیستم حاصل می  
شود. الگوی توزیع سراسری کیفیت آبیاری یا عملکرد  
سیستم را نشان می دهد. دو عامل مهم در الگوی توزیع

### مقدمه

هدف از طراحی یک سیستم آبیاری بارانی عبارت از  
پخش عمق آب مورد نیاز به صورت یکنواخت و با شدت  
موردنظر در سطح مزرعه می باشد. با شناخت الگوی توزیع

تقریباً شبیه داده های اندازه گیری شده صحرایی بودند. مول و لیگیت با استفاده از نرم افزار آماری SAS/STAT و روش حداقل سازی غیر خطی خطاب تجزیه و تحلیل خود را بر مبنای تکرار انجام داده و مدل مورد نظر خود را در هر سری آزمایش با به دست آوردن  $a$ ,  $b$ ,  $P_0$ ,  $P_p$ ,  $P_u$  و  $P_d$  که به ترتیب  $a$  و  $b$  پارامترهای تابع توزیع بتا،  $P_0$  حداقل شاع پخش آب در شرایط کنترل شده،  $P_u$  حداقل شاع پخش آب در شرایط وجود باد و خلاف جهت آن،  $P_p$  حداقل شاع پخش آب در شرایط وجود باد و عمود بر جهت باد و بالاخره  $P_d$  حداقل شاع پخش آب در شرایط کنترل نشده و در جهت باد می باشند، مشخص نمودند. از میدانی کمترین اختلاف را داشت به عنوان گرینه مطلوب انتخاب گردید.

در حال حاضر از آپاچ های ضربه ای بدليل نیاز به فشار کارکرد بالا و مصرف انرژی بیشتر کمتر استفاده می شود و آپاچ های اسپری پاش مورد توجه بیشتری می باشد. لذا در این تحقیق امکان پیش بینی الگوی توزیع آب حاصل از آپاچ های اسپری پاش با استفاده از تابع توزیع احتمالاتی بتا مورد بررسی قرار داده شد. برای تعیین ضرائب این تابع روش حداقل سازی خطای نسبی بین ارقام مشاهداتی و ارقام حاصل از مدل توزیع بتا، مشابه روش مول و لیگیت (۲۰۰۰ II) بکار گرفته شد.

#### توزیع احتمالاتی بتا

در آپاچ ضربه ای با زاویه پخش  $360^\circ$  درجه و شرایط بدون باد فرض می شود که توزیع مقادیر آب در تمام جهات پخش یکسان است. زیرا در این حالت در پروفیل پخش آب بهم خودگی ناشی از نیروی باد وجود ندارد (۸). بنابر این حجم نسبی آب اسپری شده یکنواخت بر روی حلقه ای به شعاع  $r$  و عرض  $dr$  عبارتست از:

$$g(r) = \int_0^{2\pi} f(r, \theta) d\theta \quad (1)$$

که در آن  $(r) g$  نسبت حجم آب ریخته شده در حلقه ای به شعاع  $r$  و عرض  $dr$ ، به کل آب پاشیده شده روی زمین در هر آزمایش است (شکل ۱).

حاصل از هر آپاچ تاثیر گذار هستند اولین عامل چگونگی ساخت و کارکرد مکانیکی آپاچ است که بستگی به طراحی و دقت ساخت کارخانه دارد. عامل دوم تاثیر باد می باشد. باد مهمترین عامل محیطی تاثیر گذار در الگوی توزیع آب است. برای طراحی صحیح و پیش بینی الگوی توزیع منفرد هر آپاچ و نیز الگوی توزیع سراسری لازم است که نحوه تغییرات الگوی توزیع در اثر باد پیش بینی گردد.

با توجه به اینکه اندازه گیری الگوی توزیع آب تحت شرایط انواع متفاوت باد توسط آزمایش های میدانی به دلیل تعدد حالت های ممکن عمل امکان پذیر نیست، لذا استفاده از مدل های ریاضی یا آماری برای پیش بینی الگوی توزیع در شرایط متفاوت باد توجیه پذیر است.

کارملی (۱۹۷۸) برای سیتم های جابجایی خطی، هرمان و همکاران (۱۹۹۲) برای سیتم دور مرکزی و سولومان و الیوت (۱۹۸۰) از توابع توزیع احتمالاتی برای پیش بینی الگوی توزیع آب آپاچ منفرد استفاده نمودند و دقت و قابلیت این توابع را مورد تائید قرار دادند. هان (۱۹۹۴) یک مدل شبیه سازی را برای توزیع آب در اطراف آپاچ توسعه داد. وی الگوهای های توزیع آب را در چهار جهت باد ( $0^\circ$ ,  $90^\circ$ ,  $180^\circ$  و  $270^\circ$  درجه نسبت به شمال) تحت یک آپاچ خاص و در شرایط متفاوت سرعت باد به دست آورد. تعداد ۱۷۰ آزمایش مختلف در ۱۰ گروه طبقه بندی شد و میانگین هر گروه محاسبه گردید. درستی مدل و تطبیق اعداد به دست آمده از مدل با اعداد اندازه گیری شده در مزرعه مورد آزمون قرار گرفت. این آزمایش، مکمل تحقیقات ریچارد و ودرهد (۱۹۹۳) می باشد. در این تحقیق تابع توزیع بتا روی پروفیل پخش آپاچ برآش داده شد که نتایج حاصل، رضایت بخش بود.

مهمنترین بررسی در مورد تابع توزیع بتا به عنوان مدل الگوی توزیع آب در یک آپاچ ضربه ای، متعلق به مول و لیگیت (۲۰۰۰ I) می باشد. آنها رابطه ای با ترکیب سه تابع توزیع بتا برای یک آپاچ منفرد ارائه دادند، این سه تابع توزیع جرم آب به ترتیب مربوط به قطرات ریز، متوسط و درشت بودند. از ترکیب سه منحنی بتا نیمرخ پخش آب آپاچ شبیه سازی گردید. عمق های به دست آمده از مدل،

قطرات آب تولید شده توسط مه پاش مورد نظر شاخص درشتی قطرات از رابطه متداول زیر محاسبه گردید (۶):

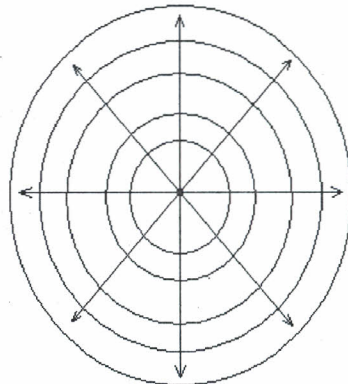
$$CI = k \frac{P^{1.3}}{D} = \frac{1}{64} \times \frac{26^{1.3}}{\left(\frac{4}{64}\right)} = 17.27 \quad (4)$$

در این رابطه D قطر روزنہ آپاش (in), P فشار کارکرد آپاش (psi) و k ضریب تبدیل واحد می باشند. به دلیل اینکه  $CI > 17$  می باشد ذرات تولیدی از جامعه ریز می باشد (۶). در نتیجه عمل اذرات با قطر متوسط و درشت قابل چشم پوشی است. لذا برای مه پاش مورد نظر  $n$  برابر ۱ در نظر گرفته شد و درنتیجه  $\tau$  برابر یک به دست می آید و داریم:

$$g(r) = \beta\left(\frac{r}{p}, a, b\right) = \frac{\Gamma(a+b)}{\Gamma(a)\Gamma(b)} x^{a-1} (1-x)^{b-1} \quad (5)$$

برای آپاش هایی که دور کامل (۳۶۰ درجه) می زند آب پخش شده در شرایط بدون باد یک ناحیه دایره ای را ایجاد می کند. جرم پخش شده نیز در این حالت در تمام زوایا یکسان خواهد بود. حال اگر شرایط کنترل نشده باشد (شرایط وجود باد) جرم پخش شده در تمام زوایا یکسان نبوده و ناحیه دایره ای مطابق شکل ۲ تبدیل به یک ناحیه بیضی شکل می گردد. علت این امر انقباض ناحیه دایره ای در خلاف جهت باد و انبساط آن در جهت باد است (۷).

در مورد آپاش های با دور کامل باید این نکته را در نظر گرفت که نحوه قرار گیری آپاش و جهت باد که در حین آزمایش نسبتا ثابت فرض می شود بدلیل وجود تقارن مرکزی در شکل نهائی ناحیه آب پخش شده تاثیری ندارند. زیرا در هر صورت یک ناحیه دایره ای در شرایط بدون باد، تبدیل به یک ناحیه بیضی شکل در شرایط وجود باد خواهد شد. در این آپاش ها حلقه های دایره ای متناسب با سرعت باد تبدیل به حلقه های بیضی شکل می گردد. بر اساس فرضیات مول و لیگیت (I, II ۲۰۰۰) مرکز بیضی منطبق بر مرکز جرم آب پخش شده روی ناحیه بیضی شکل است. این مرکز در صورت وجود باد قاعدها منطبق بر آپاش نخواهد بود ولی حلقه ها به طور منظم در اطراف مرکز جرم پخش شده قرار خواهند گرفت. در این حالت مرکز بیضی بعنوان مرکز مختصات در نظر گرفته می شود و معادله ۵ می تواند بعنوان مدل الگوی توزیع آب بکار برده شود (۷).



شکل ۱- نحوه توزیع آب پخش شده در شرایط بدون باد  
زاویه پخش ۳۶۰ درجه

$g(r)$  می تواند با استفاده از ترکیبی از  $n$  تابع توزیع بتا حاصل شود. در عمل مقدار  $n$  برابر ۱، ۲ یا ۳ در نظر گرفته می شود. منظور از تابع بتا، تابع بتای کامل بوده و بصورت  $\beta(x,a,b) = \beta\left(\frac{r}{p}, a, b\right)$  بیان می گردد، که در آن  $r$  فاصله نقطه مورد نظر از آپاش،  $p$  حداکثر شعاع پخش آب توزیع بتا هستند (۱, ۷).

می توان نوشت:

$$g(r) = \sum_{k=1}^n \tau_k \beta\left(\frac{r}{p}, a_k, b_k\right) \quad (2)$$

که در آن:

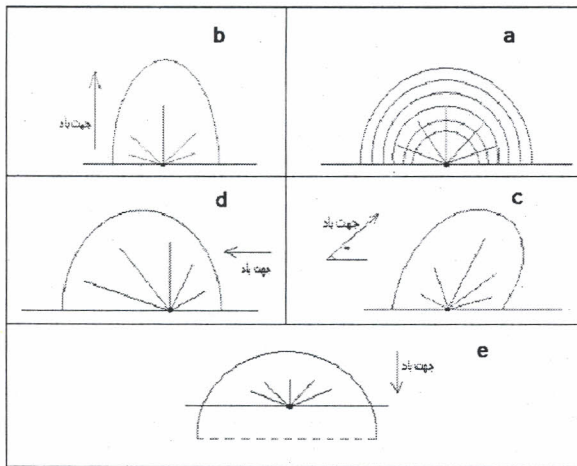
$$\beta(x,a,b) = \frac{\Gamma(a+b)}{\Gamma(a)\Gamma(b)} x^{a-1} (1-x)^{b-1} L_{[0,1]}(x) \quad (3)$$

$$\sum_{k=1}^n \tau_k = 1 \quad \tau_k \in [0,1] \quad \text{و}$$

در این رابطه  $L_{[0,1]}$  نشان می دهد که اگر  $r \leq p$  باشد ۱ و اگر  $r > p$  باشد ۰ خواهد بود.

در معادله  $(3)$  هر کدام از  $k$  ها مربوط به یک جامعه قطرات (ریز، متوسط و درشت) می باشد. اگر جامعه قطرات تولیدی از آپاش از سه تابع توزیع بتا بنابراین مدل سازی می تواند با ترکیبی از سه تابع توزیع بتا انجام گردد و به همین ترتیب اگر جامعه قطرات تولیدی از ۱ نوع باشد  $n$  برابر ۱ خواهد بود و مدل با ترکیبی از ۲ یا ۱ تابع توزیع بتا حاصل می شود. برای تعیین درشتی

۲- اگر جهت باد با جهت جت آب خروجی در راستای محور مرکزی آپیاش هم جهت باشند، ناحیه نیم دایره قدری کشیده تر شده و تبدیل به نیم بیضی می گردد (شکل ۴-۶).



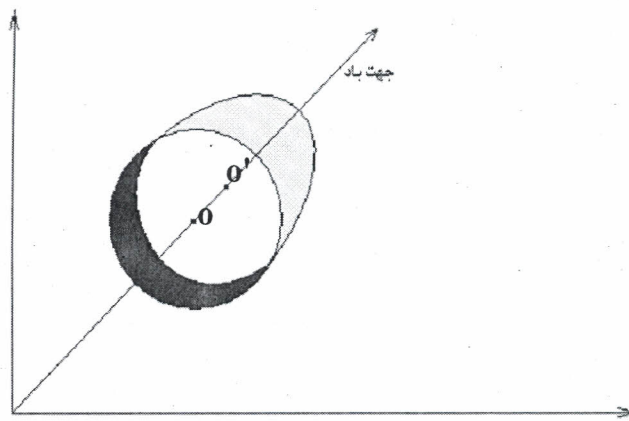
شکل ۴- انواع حالت های قرار گیری آپیاش با توجه جهت باد ( محل تلاقی خطوط شعاعی؛ موضع استقرار آپیاش )

۳- اگر جهت باد با جهت جت آب خروجی در راستای محور مرکزی آپیاش زاویه  $45^\circ$  درجه بسازد آب پخش شده یک نیم بیضی خوبیده را ایجاد خواهد کرد (شکل ۴-۵).

۴- اگر جهت باد عمود بر جهت جت آب خروجی در راستای محور مرکزی آپیاش باشد بیشترین جرم آب پخش شده نسبت به آپیاش در جهت باد متمایل گردیده و تقریباً الگوی شبیه شکل ۴-d را ایجاد خواهد نمود.

۵- اگر جهت باد در خلاف جهت جت آب خروجی در راستای محور مرکزی آپیاش باشد آب پخش شده تقریباً الگوی شکل ۴-e را دارا خواهد بود.

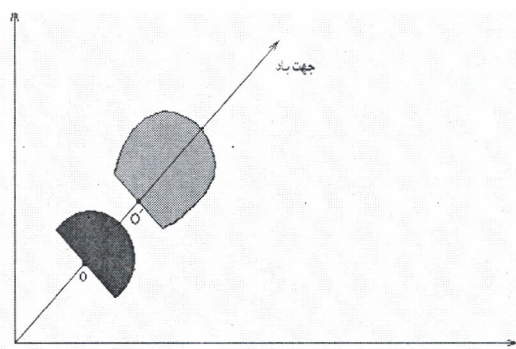
البته با تغییر زاویه جهت باد نسبت به جهت جت آب خروجی، شکل ناحیه ای که در آن آب پخش شده متفاوت خواهد بود. چون تعداد حالات به ازای تغییر زاویا زیاد است لذا از پنج حالت ذکر شده چهار مورد بررسی گردید. چهار مورد، حالت های ۱، ۲، ۳ و ۴ می باشند. مورد پنجم به دلیل پیچیده بودن بایستی بیشتر مورد بررسی قرار گیرد زیرا بر اساس نتایج حاصل از آزمایشات میدانی در Halli که جهت باد خلاف جهت جت آب خروجی بود به ازای سرعت های مختلف باد مدل سازی مقدور نگردید. تجارت حاصله بویژه در شرایط سرعت باد بیشتر از ۶ متر بر ثانیه نشان داد



شکل ۲- ناحیه پخش آب در شرایط کنترل شده (بدون باد) به مرکز ۰ و شرایط کنترل نشده (وجود باد) به مرکز '۰ برای آپیاش با چرخش کامل

در مورد آپیاش هایی که زاویه پخش آنها کمتر از  $360^\circ$  درجه است (دور کامل نمی زنند) قضیه متفاوت است. در

شکل ۳- تغییر شکل الگوی توزیع برای زاویه پخش  $180^\circ$  درجه مربوط به آپیاش مه پاش در شرایط وجود باد بطور شماتیک نشان داده شده است.



شکل ۳- نمایش شماتیک ناحیه پخش آب در شرایط کنترل شده (بدون باد) با استقرار آپیاش در ۰ و شرایط کنترل نشده (وجود باد) با استقرار آپیاش در '۰

مه پاش مورد آزمایش دارای زاویه باز شدگی  $180^\circ$  درجه (نیم دایره) می باشد. با توجه به شرایط باد و نحوه

قرار گیری مه پاش چندین حالت می توان در نظر گرفت:

۱- در شرایط بدون باد ناحیه پخش آب نیم دایره است و در تمام زوایای پخش، جرم پخش شده تقریباً یکسان است (شکل ۴-a).

مقادیر  $\hat{F}_{xy}$  را برای تک تک قوطی ها در هر آزمایش با مدل تابع بتا به ازای یک  $a$  و  $b$  معین محاسبه نمود. بعد از تعیین  $F_{xy}$  در هر آزمایش مقدار خطای نسبی از رابطه زیر محاسبه می شود(۷):

$$ER = \frac{\sqrt{\sum (F_{xy} - \hat{F}_{xy})^2}}{n\bar{F}} \quad (9)$$

: خطای نسبی آزمایش،  $F_{xy}$  حجم آب جمع آوری شده نسبی در قوطی به مختصات  $(x,y)$ ،  $\hat{F}_{xy}$  حجم آب نسبی تخمین زده شده از مدل،  $n$  تعداد قوطی هایی که آب دریافت کرده اند و  $\bar{F}$  متوسط حجم نسبی آب دریافت شده توسط قوطی های جمع آوری کننده آب می باشد.

برای تعیین مقادیر  $\hat{F}_{xy}$  از روش حداقل سازی خطای نسبی استفاده گردید. برای این کار با تغییر مقادیر  $a$  و  $b$  در هر آزمایش مقادیر  $\hat{F}_{xy}$  برای تک تک قوطی ها به گونه ای یافته شدند که خطای نسبی ارائه شده در معادله ۹ مینیمم گردد. به علت حجم زیاد محاسبات از برنامه موجود در فایل کتابخانه ای نرم افزار Matlab 6.1 استفاده شد و مشخص شد که در کلیه آزمایش ها مقادیر  $a$  و  $b$  بین ۱ تا ۵ می باشند. مقادیر بهینه  $a$  و  $b$  مقادیری هستند که به ازای آنها خطای نسبی آزمایش مینیمم باشد. بعد از معین شدن مقادیر  $a$  و  $b$  معادله کلی مدل در نهایت به صورت زیر به دست می آید.

(10)

$$\hat{F}_{xy} = \frac{1}{2} \frac{\pi\rho^2}{\pi(R+\rho)^2 - \pi(R-\rho)^2} \int_{R-\rho}^{R+\rho} \frac{\Gamma(a+b)}{\Gamma(a)\Gamma(b)} \left(\frac{r}{\rho}\right)^{a-1} \left(1 - \frac{r}{\rho}\right)^{b-1} dr$$

### مواد و روش ها

این پژوهش در اراضی ایستگاه تحقیقاتی کرج دانشکده کشاورزی دانشگاه تبریز واقع در کیلومتر ۱۲ جاده تبریز-باسمنج با عرض و طول جغرافیایی به ترتیب ۳۸ درجه و ۱ دقیقه و ۴۶ درجه و ۳ دقیقه و ارتفاع ۱۵۶۷ متر از سطح دریا انجام شد(۱ و ۲). در محل آزمایش یک سیستم دور مركزی به طول ۱۸۰ متر حدود ۱۰/۲ هکتار از اراضی را آبیاری می کند. محوطه مورد نظر که آزمایش ها در آنجا انجام گردیدند به عرض ۲۰ و طول ۴۰ تا ۵۰ متر و پوشیده از چمن به ارتفاع ۵ تا ۱۰ سانتی متر بود که در مجاورت

که به دلیل به هم خوردگی شدید الگوی توزیع و افزایش تلفات بادردگی به بیش از ۵۰٪ تطبیق مدل توزیع بتا به جواب قابل قبول منجر نمی شود.

در حالتی که سرعت باد صفر است (شرایط کنترل شده) نیم حلقه های منظم حول آبپاش ایجاد می گردد (۳). در موارد ۲، ۳ و ۴ برای برآش مدل فرض گردید که باد تنها باعث انبساط یا انقباض حلقه ها می گردد و احتیاجی به جابجایی مرکز مختصات نیست و مرکز مختصات برای نشان دادن توزیع مکانی آب پخش شده منطبق بر محل استقرار آبپاش در نظر گرفته می شود.

در آبپاش هایی که دایره کامل را آبیاری می کنند نسبت حجم آب دریافتی توسط هر یک از قوطی های جمع آوری کننده آب به حجم کل آب پاشیده شده در هر آزمایش از رابطه زیر تخمین زده می شود (۸):

$$\hat{F}_{xy} = \frac{\pi\rho^2}{\pi(R+\rho)^2 - \pi(R-\rho)^2} \int_{R+\rho}^{R-\rho} g(r) dr \quad (6)$$

که در آن:

: حجم آب جمع آوری شده در قوطی به مختصات  $(x,y)$  نسبت به مبدا مختصات که محل آبپاش در نظر گرفته می شود.

: شاعر قوطی های جمع آوری کننده آب  $\rho$

: فاصله نقطه  $(y,x)$  از آبپاش یا از مرکز جرم که عبارت است از:

$$R_{xy} = \sqrt{x^2 + y^2} \quad (7)$$

و  $g(r)$  رابطه ارائه شده در معادله ۵ می باشد.

در آبپاش های با زاویه پخش ۱۸۰ درجه نیز رابطه ۶ صادق بوده و حجم آب دریافتی توسط هر یک از قوطی ها نسبت به حجم کل آب پخش شده می تواند توسط این رابطه محاسبه شود. در مورداين آبپاش ها داريم (۸):

$$g(r) = \int_0^\pi f(r, \theta) d\theta \quad (8)$$

برای به دست آوردن  $\hat{F}_{xy}$  برای زاویه ۱۸۰ درجه لازم است مقدار  $f(r, \theta)$  حاصل از رابطه ۸ در معادله ۶ قرار داده شود. در هر آزمایش مقادیر نسبت حجم آب جمع آوری شده در هر قوطی به حجم کل آب پاشیده شده ( $F_{xy}$ ) با اندازه گیری به دست می آید. از طرف دیگر می توان

آزمایش چنان قرار داده شد که حداکثر بعد خیس شدگی آن در امتداد طول زمین باشد. همچنین طی آزمایش ها قوطی ها چنان چیده می شدند که تمام سطح تحت آبیاری را پوشش دهند.

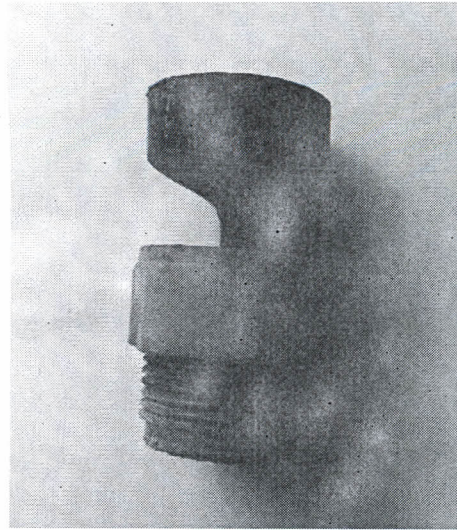
پس از راه اندازی پمپ، آبپاش مه پاش شروع به پخش آب کرده و مدت زمان آزمایش برای پخش آب یک ساعت در نظر گرفته شد. پس از اتمام مدت آزمایش پمپ خاموش و مقادیر آب جمع آوری شده در هر قوطی اندازه گیری و یادداشت گردید. مقدار تبخیر توسط یک قوطی شاهد طی آزمایشات اندازه گیری می گردید ولی بدلیل ناچیز بودن از مقادیر حاصله صرف نظر گردید. همچنین در ابتدای آزمایش ها مدت زمانی در حد چند ثانیه طول می کشید تا فشار به حد مورد نظر برسد لذا با توجه به مدت زمان انجام آزمایش (یک ساعت) خطای حاصله از این تاخیر بسیار ناچیز بود.

برخی از آزمایشات به دلیل سرعت بسیار بالای باد و افزایش تلفات تبخیر و باد بردگی به مقدار بسیار زیاد یا به دلیل تغییرات زیاد جهت باد در طول آزمایش از اطمینان کافی برخوردار نبود و از محاسبات حذف شد.

### نتایج و بحث

در باد های غالب منطقه که از شمال شرقی به جنوب غربی می وزد، با توجه به حالت های مختلف قرارگیری آبپاش مه پاش نسبت به جهت باد نتایج متفاوتی برای الگوی توزیع به دست آمد. شکل ۶ نمایی از محل قرار گیری آبپاش، جهت باد و امتدادهای مختلفی که تابع بتا در آنها پیاده می شود را نشان می دهد. نحوه تغییرات مقادیر ضرایب  $a$  و  $b$  روی هر یک از امتدادهای الف، ب و ج که در شکل مشخص شده اند، با توجه به تغییرات سرعت باد مورد ارزیابی قرار داده شد. نتایج ارزیابی نشان داد که مقادیر  $a$  و  $b$  بسته به مقادیر سرعت باد تغییر می یابند نحوه تغییرات  $a$  و  $b$  با توجه به سرعت باد در جدول ۱ نشان داده شده است.

قطعه زمین تحت پوشش سیستم دوار مرکزی انتخاب گردید. جهت انجام آزمایشات یک دستگاه آبپاش مه پاش مدل PROS-04 با شعاع موثر ۹ متر نظیر آبپاش های نصب شده روی سیستم های دوار مرکزی، روی رایزری به ارتفاع ۳ متر از سطح زمین تقریباً برابر متوسط فاصله آبپاش های سیستم دوار مرکزی، نصب گردید. شکل ۵ نمایی از آبپاش مه پاش مورد استفاده در تحقیق مورد نظر را نشان می دهد. طی چهار آزمایش حداکثر شعاع پخش آبپاش در شرایط وجود باد با سرعت های متفاوت در حدود ۱۰ الى ۱۱ متر به دست آمد (شکل ۱). فشار کارکرد آبپاش های سیستم دوار مرکزی در محدوده ۲۰-۳۰ psi ۲۰-۳۰ اندازه گیری گردید و فشار متوسط آن ۲۶ psi ۲۶ محاسبه گردید. لذا آزمایشات بر مبنای فشار متوسط ۲۶ psi انجام پذیرفت.



شکل ۵- نمایی از آبپاش مه پاش مدل PROS-04

نحوه انجام آزمایشات به شرح زیر است:

پس از آماده کردن وسایل لازم، ابتدا در محوطه فوق الذکر برای هر آزمایش قطعه زمینی مستطیلی شکل به طول ۱۴ متر و عرض ۸ متر انتخاب گردید. قطعه زمین انتخاب شده را به صورت شبکه های ۲ در ۲ متر شبکه بندي نموده و قوطی های جمع آوری کننده آب به قطر ۲۰ سانتیمتر روی گره ها قرار داده شدند. آبپاش در طی

جدول ۱- مقادیر ضرایب a و b در سه امتداد به ازای سرعت‌های مختلف باد

امتداد انتخابی برای تطبیق												سرعت باد
												تابع بتا
۶	۵/۵	۴/۳۷۵	۲/۶۷	۲/۵								
b	a	b	a	b	a	b	a	b	a	b	a	امتداد الف (صفر درجه)
۳/۴	۳/۷	۳/۴	۳/۸	۳/۴	۳/۷	۳/۵	۳/۶	۳/۳	۳/۵	۳/۵	۳/۵	امتداد ب (۴۵ درجه)
۴/۵	۴/۶	۴/۳	۴/۳	۳/۹	۳/۹	۳/۵	۳/۴	۳/۶	۳/۵	۳/۵	۳/۵	امتداد ج (۹۰ درجه)
۳/۵	۳/۶	۳/۱	۳/۴	۳/۱	۳/۵	۳/۴	۳/۲	۳/۲	۳/۲	۳/۲	۳/۲	

دارند و نشان می‌دهند که پارامترهای تابع توزیع بتا کاملاً وابسته به سرعت باد هستند.

بنابراین در بادهای غالب منطقه با معلوم بودن سرعت باد و زاویه جهت باد با امتداد مورد نظر با استفاده از روابط بالا می‌توان a و b مربوط به تابع بتا را به دست آورد. با داشتن پارامترهای تابع بتا رابطه ۸ تکمیل شده و می‌توان حجم‌های نسبی در هر نقطه را با استفاده از رابطه ۶ به دست آورد. حاصل ضرب حجم نسبی در حجم کل آب پخش شده برابر حجم نظیر آب جمع شده در قوطی جمع آوری است که با توجه به سطح مقطع افقی قوطی براحتی به عمق آب معادل تبدیل می‌شود.

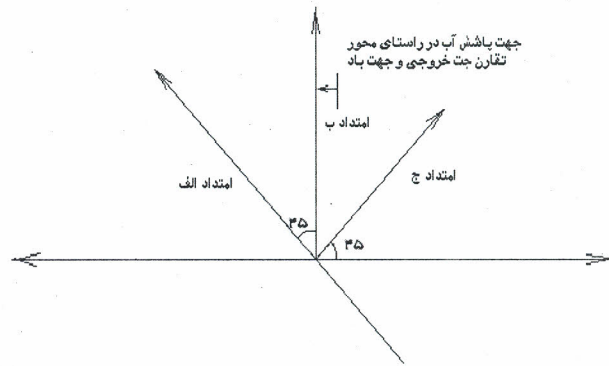
در تابع احتمالاتی بتا تاثیر مقادیر a و b روی منحنی فراوانی توزیع از قوانین شناخته شده پیروی می‌کنند که در اینجا ۲ نمونه مهم از این قوانین ذکر می‌گردد.

۱- به ازای b ثابت با افزایش a نقطه اوج منحنی از مبدا مختصات (آپاش یا مرکز جرم) دور می‌شود و مقدار ماکزیمم منحنی با سرعت بسیار کم کاهش می‌یابد.

۲- هر گاه و b هر دو افزایش یابند ولی شدت افزایش a بیشتر از b باشد نقطه اوج منحنی از مبدا مختصات (آپاش یا مرکز جرم) دور شده و ماکزیمم منحنی بسته به افزایش a و b کاهش پیدا می‌کند.

با توجه به ۳ امتداد انتخابی الف، ب و ج موارد زیر قابل استنتاج است.

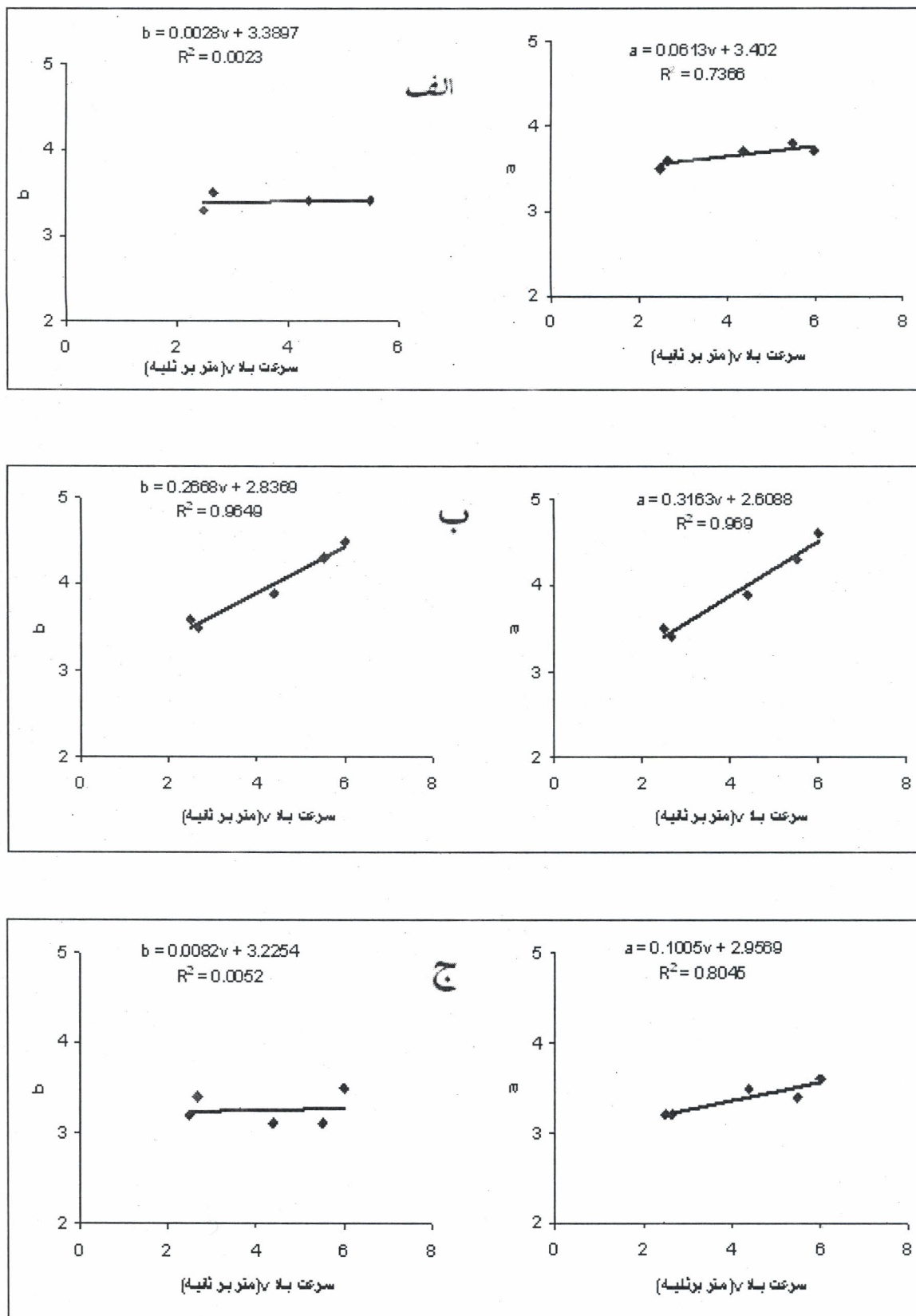
الف- در امتداد الف، با افزایش سرعت باد مقدار b تقریباً ثابت می‌ماند ولی مقدار a افزایش می‌یابد. بنابراین با افزایش سرعت باد، نقطه اوج منحنی از آپاش دور می‌گردد و مقدار ماکزیمم منحنی نیمروز بارش در محدوده ۲/۷ تا ۴/۵ متر از آپاش ثابت می‌ماند (شکل ۸).



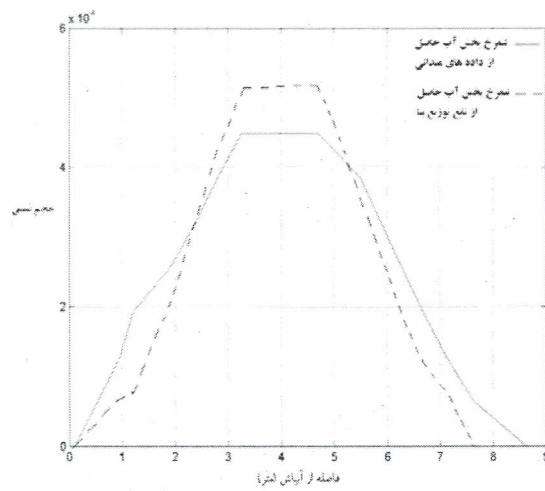
شکل ۶- نمایش شماتیک جهت باد، جهت جت آب خروجی و امتدادهای انتخابی برای تطبیق تابع توزیع بتا

برای استخراج روابط آماری که ارتباط بین ضرائب a و b با سرعت باد را نشان دهد از روش تحلیل رگرسیون استفاده گردید.

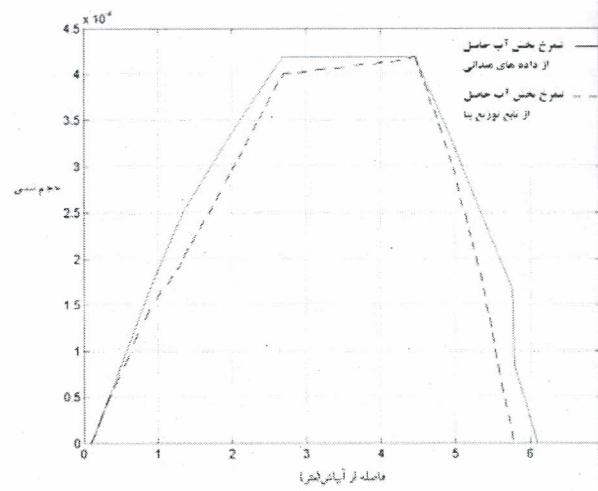
در اشکال ۷ الف تا ۷ ج به ترتیب رابطه بین سرعت‌های مختلف باد و مقادیر پارامترهای a و b برای بررسی سه امتداد انتخابی نشان داده شده است. علاوه بر این روابط رگرسیونی مربوط به هر مورد و ضرائب همبستگی نیز مشخص گردیده اند. در اشکال ۷ الف و ۷ ج ضرائب همبستگی حاصله مقادیر کوچکی را دارند بنابراین در این مسیرها مقادیر b تقریباً مستقل از سرعت باد می‌باشد. مقدار b در شکل ۷ الف تقریباً ثابت و در دامنه ۳/۵ تا ۳/۳ و در شکل ۷ ج مقدار آن بین ۲/۱ تا ۳/۵ می‌باشد. مقادیر کوچک ضریب سرعت در روابط رگرسیونی مذکور در اشکال ۷ الف و ۷ ج برای محاسبه مقدار b نیز تائیدی بر این موضوع است و نشان می‌دهد که تا سرعت‌های باد ۶ متر بر ثانیه تاثیر افزایش سرعت باد در افزایش مقدار b با توجه به مقادیر نسبتاً بزرگ پارامترهای ثابت این معادلات ناچیز است. در سایر موارد ضرائب همبستگی مقادیر قابل قبولی را



شکل ۷- رابطه بین پارامترهای *a* و *b* با سرعت باد (الف، برای امتداد با زاویه ۴۵ درجه شرقی نسبت به جهت باد (امتداد الف)، ب، برای امتداد با زاویه ۰ درجه نسبت به جهت باد (امتداد ب) و ج، برای امتداد با زاویه ۴۵ درجه غربی نسبت به جهت باد (امتداد ج))



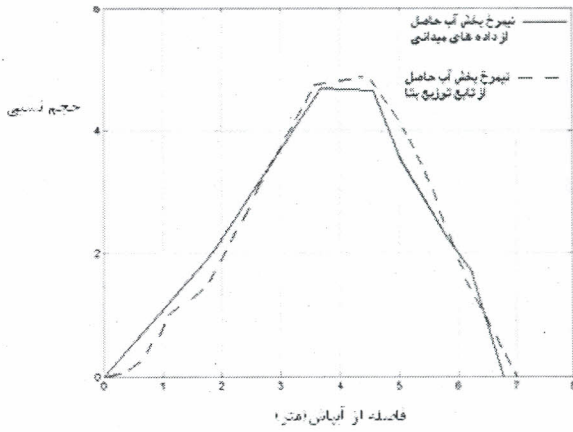
شکل ۹ - نیمرخ پخش آب با توجه به شرایط ذکر شده در بند ب (برای سرعت باد  $4/5$  متر بر ثانیه)



شکل ۸ - نیمرخ پخش آب با توجه به شرایط ذکر شده در بند الف (برای سرعت باد  $3/25$  متر بر ثانیه)

دو جهت ذکر شده تقریباً مشابه می باشند (شکل های ۸ و ۱۰). تغییرات جزئی در نتایج دو جهت الف و ج به این علت است که نیمرخ های استخراج شده در شکل های ۸ و ۱۰، برای دو سرعت باد مختلف می باشند.  
در این جهت نیز با افزایش سرعت باد، مقدار  $b$  ثابت مانده و مقدار  $a$  افزایش می یابد و در نتیجه نقطه اوج منحنی از آپیاش دور می گردد و مقدار ماکریزم منحنی نیمرخ بارش با سرعت بسیار کم کاهش می یابد (شکل ۱۰).  
ماکریزم منحنی در فاصله تقریبی  $4$  متر از آپیاش قرار دارد در حالی که حداقل شعاع پخش کمتر از  $7$  متر است.  
سه نیمرخ پخش آب ارائه شده در شکل های ۸، ۹ و ۱۰ به ترتیب برای باد های با سرعت  $3/25$ ،  $4/5$  و  $5$  متر بر ثانیه به دست آمده است. داده های حاصل از اندازه گیری های نظیر این سه نیمرخ پخش در استخراج ضرائب تابع توزیع بتا بکار نرفته و تنها برای تعیین اعتبار مدل از آن استفاده شده است. مقادیر خطای نسبی برای این سه حالت به ترتیب  $3/29$ ،  $3/23$  و  $7/29$  درصد می باشند.  
**نتیجه گیری**

تابع توزیع بتا به دلیل انعطاف پذیری زیاد یک مدل توامند برای شبیه سازی انواع نیمرخ های بارش حاصل از آپیاش ها می باشد. نتایج حاصل از آزمایشات میدانی در این تحقیق بیانگر آن است که تابع توزیع بتای حاصل شده در حد مطلوبی الگوی توزیع آب را در شرایط متفاوت باد و در



شکل ۱۰ - نیمرخ پخش آب با توجه به شرایط ذکر شده در بند ج (برای سرعت باد  $5$  متر بر ثانیه)

ب- در امتداد ب با افزایش سرعت باد  $a$  و  $b$  هر دو افزایش می یابند ولی شدت افزایش  $a$  بیشتر از شدت  $b$  است. لذا با افزایش سرعت باد نقطه اوج منحنی از آپیاش دورتر می گردد. مقدار ماکریزم منحنی در محدوده ای کمتر از حالت الف یعنی از فاصله  $3/2$  الی  $4/7$  متر از آپیاش ثابت می ماند (شکل ۹). در این حالت منحنی تقارن بیشتری نسبت به شکل ۸ دارد.

ج- در امتداد ج شرایط مشابه امتداد الف می باشد، یعنی در هر دو حالت زاویه بین مسیر فرضی (که تابع بتا در آن پیاده می شود) با جهت باد،  $45$  درجه می باشد بنابراین انتظار می رود نتایج مشابهی به دست آید. نتایج حاصله در

زیادتر باد نسبت به حالت الف می باشد که جرم آب پخش شده در بخش ماکریم را افزایش می دهد و در ناحیه محدودتری متمرکز می شود که می تواند علت کوچک تر شدن بخش ماکریم را توجیه نماید. در امتداد ج قاعدها باید پروفیل مشابه با پروفیل امتداد الف داشته باشیم اما سرعت زیاد باد در موقع آزمایش اختلافاتی را به وجود آورده است. محدوده ماکریم از  $1/8$  ( $4/5 - 2/7 = 1/8$ ) متر به  $0/9$  ( $1/1 - 3/6 = 1/1$ ) متر کاهش یافته و این محدوده  $0/9$  ( $3/6 - 2/7 = 0/9$ ) متر در جهت باد انتقال یافته است که سرعت زیاد باد آن را توجیه می کند. افزایش حجم نسبی دریافتی در بخش اوج می تواند به تلاقی بیشتر پاشش جت خروجی در جهت های مختلف ارتباط پیدا کند اما کاهش محدوده ماکریم نسبت به راستای الف می تواند به سرعت باد نسبت داده شود.

برای تعیین اعتبار مدل از خطای نسبی استفاده شد. بر اساس یافته های مول و لیگیت ( $8/9$ ) مقدار خطای نسبی باید کمتر از  $10\%$  باشد. با توجه به اینکه مقادیر خطای نسبی در تمامی آزمایشات و در تمامی جهات کمتر از  $10\%$  می باشد می تواند دلیلی بر صحت مدل باشد.

در فرآیند تحلیلی موارد قابل تامیل به شرح زیر استنتاج گردید:

۱- تغییرات مقادیر پارامترهایتابع توزیع بتا (a) و (b) در کلیه آزمایش ها به نحوی بودند که  $0.928 < \frac{a}{b} < 1.619$  می باشد. یعنی نسبت  $\frac{a}{b}$  در همه آزمایش ها تقریباً برابر ۱ می باشد.

۲- در غالب آزمایش هایی که جهت جت آب خروجی در راستای محور تقارن جت خروجی، در امتداد جهت باد یا عمود بر جهت باد بود، نیمرخ به دست آمده از آزمایش های صحرایی و مدل دارای نقطه اوج تیز است (شکل ۱۰).

امتدادهای انتخابی پیش بینی می کند. با توجه به خطاهای به دست آمده، حداکثر خطای نسبی در مجموع ۱۶ آزمایش (غیر از آزمایش انجام شده در شرایط کنترل شده) برابر  $9/28$  درصد و حداقل آن  $1/83$  درصد است. الگوی توزیع آب حاصل از آبپاش های اسپری پاش به شدت تحت تاثیر باد است. در شرایط بدون باد پیش بینی الگوی توزیع با الگوی توزیع بتا به خوبی قابل انجام است. باد به شدت الگوی توزیع را به هم می زند با افزایش زیاد سرعت باد الگوی در هم حاصل شده و به سختی با مدل های توزیع قابل تطبیق است.

آبپاش مورد آزمایش دارای باز شدگی  $180$  درجه و از نوع اسپری پاش است. برای این نوع آبپاش با توجه به نحوه قرارگیری آبپاش و جهت باد چندین نیمرخ پخش آب حاصل می شود که قبلاً به حالات مختلف آن اشاره شد. در امتداد الف که در زاویه  $45$  درجه غربی نسبت به محور تقارن پاشش و باد قرار دارد، علت دور شدن بخش ماکریم پاشش از مرکز آبپاش، انتقال اسپری دریافتی نقاط نزدیک به نقاط دورتر در اثر نیروی باد است. از طرف دیگر پاشش جت خروجی در جهت های مختلف دیگر نیز به سمت جهت وزش باد تمایل پیدا می کند در نتیجه نه تنها ماکریم آب دریافتی به انتهای زمین تمایل پیدا می کند بلکه محدوده ثابت منحنی توزیع در بخش ماکریم پهن تر می گردد. در امتداد ب که جهت وزش باد در امتداد محور تقارن آبپاش است تقارن مشهود بوده و ماکریم تقریباً در وسط شعاع پاشش روی می دهد در حالیکه قاعدها باستی ماکریم قدری نزدیک به آبپاش روی دهد علت این امر انتقال یکنواخت الگوی پاشش در جهت باد می باشد. تلاقی جت های خروجی در جهات مختلف پاشش در این حالت کمتر بوده و در نتیجه محدوده ثابت بخش ماکریم نسبت به حالت الف کاهش پیدا می کند ولی حجم آب دریافتی در بخش ماکریم بیش از حالت الف است که علت آن سرعت

## REFERENCES

- Carlson, W. L., & Thorne, B. 1999. Applied statistical methods. Second Edition, Oxford University Press Inc., New York. P: 542.
- Han, S. 1994. Drop size distribution measurement problems using a laser unit. Trans. AM. Geo. Phys. Un., 24: 452-460.

3. Herman, D., H. R. Duk, A. M. Serafim, & L. J. Dawson. 1992. Distribution functions to represent center pivot water distribution. Trans. ASAE: 1465-1472.
4. Jafarzadeh, A.A., R. Kasraiee, & M. R. Nishabori. 1995. Semi detailed study of 18 hectare lands and farms of Karkaj Research Station: final report. University of Tabriz Inc.
5. Karmeli, D. 1978. Estimating sprinkler distribution patterns using linear regression. Trans. ASAE, 21(4): 682-685.
6. Keller, J., & R. D. Blisner. 1990. Sprinkler and trickle irrigation. Van Nostrand Rainhold Inc. New York. P: 86-122.
7. Molle, B., & Y. Legate. 2000. Model of water application under pivot sprinkler I: theoretical grounds. J. Irrig. and drain. Engrg. ASCE, 126(12): 343-347.
8. Molle, B., & Y. Legate. 2000. Model of water application under pivot sprinkler II: calibration and results. J. Irrig. and drain. Engrg., ASCE, 126(12): 348-354.
9. Naseri, A. 1995. Study of mathematical and empirical models of evaporation and wind drift losses of a single sprinkler. Msc Thesis, Faculty of Agriculture, University of Tabriz.
10. Richards, S. P., & Weatherhead, E. K. 1993. Prediction of rain gun application patterns in windy conditions. J. Agric. Engrg. Res., 54: 281-291.
11. Soloman, K., & R. Elliott. 1980. Variability of sprinkler coefficient of uniformity tests results. Trans. ASAE, 22(5): 53-55.